

# 金属-绝缘体-半导体 (MIS) 太阳电池原理简介

郑文琛

(四川大学物理系)

MIS 太阳电池由金属-半导体结构构成, 利用金属-半导体结的肖特基势垒(SB)产生内场来分离光生载流子。它和 p-n 结太阳电池相比, 有如下一些优点: (1) 制结快速、容易, 不需高温。同时, 因为是表面结, 所需基片较薄, 所以材料及能量消耗均较少。(2) 在电池作用区避免了高温扩散引起的晶格损伤和少子寿命退化, 减小了体区载流子复合。(3) 延长到硅表面的电场, 有助于收集短波光生少子, 避免了多数 p-n 结太阳电池表面出现的“死层”。故紫光响应好。(4) 结构适于单晶也适于多晶和非晶。(5) 金属、绝缘体、半导体选择余地大, 可进行多种组合以满足不同的需要。实际上, 除太阳电池外, MIS 结构还可以作二极管、双稳态开关, 数字式闸流管和数字-光学式闸流管等<sup>[1]</sup>。

MIS 太阳电池的缺点是: (1) 理论效率低。(2) 绝缘层制作困难。作为一种表面势垒器件, 其性能主要依赖于超薄绝缘层( $\sim 30 \text{ \AA}$ )的质量。最初用的超薄绝缘层是自发生长的天然氧化层, 制作 MIS 太阳电池的成品率极低。后来虽然绝缘层的质量有所改善, 但是要制造超薄、稳定、致密、大面积均匀一致和界面态密度较低的绝缘层, 仍然是较难的。(3) 长期稳定性差。势垒形成时如果未完全消除水蒸气等污染, 则稳定性更差。

七十年代以来, MIS 太阳电池很受重视, 但尚有大量问题有待研究。

本文就 MIS 太阳电池和其中效率最高的一种 MIS-IL (反型层) 太阳电池的机理作一简要的介绍。

## 一、绝缘层的作用

绝缘层的作用是 MIS 太阳电池机理研究

物理

的中心。最初的这类电池是采用金属-半导体直接接触(MS 或 SB 太阳电池), 但是光电压特性不好, 这是由于存在半导体高密度表面态的“钉扎”效应, 使肖特基势垒较低, 因而热离子激发的暗电流大, 使开路电压  $V_{oc}$  降低。后来发现, 如果在金属、半导体之间引入一超薄绝缘层, 就可以单向抑制多子暗电流, 使  $V_{oc}$  提高。但是, 如果绝缘层太厚, 则又会抑制少子电流, 使光电流下降, 转换效率降低。人们对绝缘层的这个重要作用进行了长期而广泛的研究, 但是仍然没有完全搞清楚。一般认为, 它的引入, 有如下作用<sup>[2-6]</sup>:

1. 绝缘层对载流子传输的阻碍作用。这种作用常用载流子隧道系数  $e^{-x_c^{1/2}\delta}$  (对电子),  $e^{-x_h^{1/2}\delta}$  (对空穴) 来表示, 它与绝缘层厚度  $\delta$ 、载流子种类密切有关。我们总可找到适当的厚度, 使多子和少子的隧道系数大不相同, 达到抑制多子电流又不明显影响少子电流的目的。

2. 绝缘层固定电荷改变势垒高度的作用。也就是固定电荷  $Q_{fix}$  使金属功函数  $\phi_m$  变成有效功函数  $\phi_m^{eff}$  ( $\phi_m^{eff} = \phi_m - Q_{fix}\delta_{eff}\epsilon_i$ , 这里  $\delta_{eff}$  和  $\epsilon_i$  为绝缘层的有效厚度和介电常数), 因而可以改变势垒高度。

3. 绝缘层引入的界面态的作用, 包括: (1) 钝化半导体表面, 消除“钉扎”效应, 使势垒高度可随金属功函数变化, 因此适当地选择金属, 可使势垒高度提高。(2) 静电作用(即界面态储存电荷产生场形成效应的作用)。光照时, 开路电压可大于半导体表面势垒的降低(一般是等于表面势垒的降低)。

综上所述, 绝缘层的作用是由它的厚度、固定电荷和引入的界面态密度所产生的, 尤其以厚度起的作用为最重要。

对不同的金属、半导体接触, 半导体表面会

出现积累层、耗尽层和反型层三种情况。所以均可靠引入适当的绝缘层来改善光伏特性，只是不同情况下，对绝缘层的要求有所不同，同时绝缘层起的作用也有所不同。这里只介绍耗尽层情况。此时少子直接隧道电流（有别于通过界面态隧道的电流）较大，用薄绝缘层即可抑制多子电流，较好地改善光伏特性。下面以 Al-SiO<sub>x</sub>-pSi 太阳电池为例具体说明绝缘层的作用。

Al-SiO<sub>x</sub>-pSi MIS 太阳电池在平衡状态下光照时的能带如图 1 所示。图中以金属费米能级为能量零点，以金属到半导体的电流方向为正向。

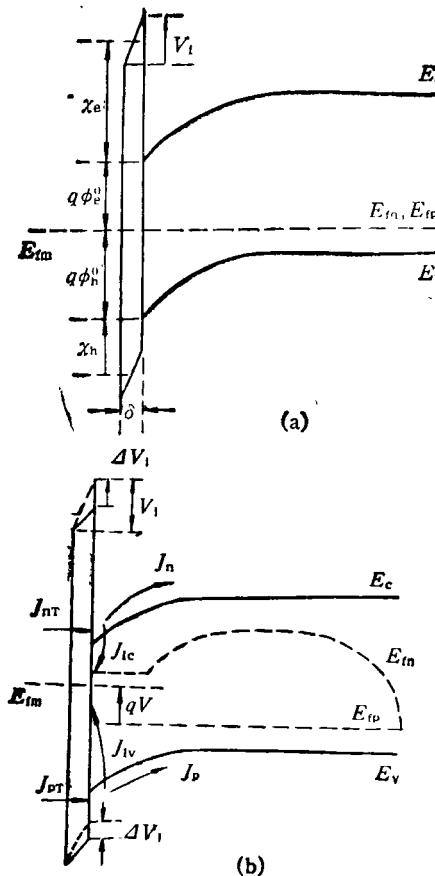


图 1 MIS 太阳电池能带图  
(a) 平衡时 ( $V = 0$ ); (b) 光照时 ( $V \neq 0$ )

对绝缘层，隧道通过的多子（空穴）和少子（电子）电流为  $J_{pT}$  和  $J_{nT}$ ，其中

$$J_{pT} = J_{ms}^p - J_{sm}^p$$

$$= A_{th}^* T^2 e^{-x_h^{1/2}\delta} e^{-q\phi_e^0/kT} \times e^{-q\Delta V_i/kT} [e^{qV/kT} - 1], \quad (1)$$

$$J_{nT} = J_{ms}^n - J_{sm}^n \\ = A_{tc}^* T^2 e^{-x_c^{1/2}\delta} e^{-q\phi_e^0/kT} e^{q\Delta V_i/kT} \times \left[ \exp \left( \frac{E_{fn}(0)}{kT} \right) - 1 \right], \quad (2)$$

其中

$$A^* = \frac{4\pi m^* q k^3}{h^3}$$

为修正理查逊常数， $e^{-x_h^{1/2}\delta}$  和  $e^{-x_c^{1/2}\delta}$  各为采用方势垒近似得到的空穴和电子隧道系数。其余符号如图示，均为通常意义。

对半导体区，

$$J_p = p \mu_p \frac{dE_{fp}}{dx}, \quad (3)$$

$$J_n = n \mu_n \frac{dE_{fn}}{dx}, \quad (4)$$

其中

$$p = N_v \exp \left( \frac{E_v - E_{fp}}{kT} \right) \\ = n_i \exp \left( \frac{E_i - E_{fp}}{kT} \right), \quad (5)$$

$$n = N_c \exp \left( \frac{E_{fn} - E_c}{kT} \right) \\ = n_i \exp \left( \frac{E_{fn} - E_i}{kT} \right). \quad (6)$$

略去价带、导带流入界面态的电流  $J_{lv}$ ， $J_{lc}$  和空间电荷区复合电流  $J_{rc}$ 。根据连续性方程，有

$$J_p \approx J_p(0) = J_{pT}, \quad (7)$$

$$J_n \approx J_n(0) = J_{nT}, \quad (8)$$

其中  $J_p(0)$ ， $J_n(0)$  为半导体表面的多子、少子电流。文献[7]给出

$$J_n(0) = qF_0 - \frac{n_{p0} D_n q}{L_n} \\ \times \left[ \exp \left( \frac{E_{fn}(0) + qV}{kT} \right) - 1 \right], \quad (9)$$

其中  $J_n(0)$  由二部分组成：正向的最大光电流  $qF_0$  ( $F_0$  为光子流密度) 和半导体表面高浓度少子产生的反向扩散电流即少子暗电流。

MIS 太阳电池的总电流为

$$\begin{aligned} J &\approx J_{nT} + J_{pT} \\ &= J_{sc} - J_0(e^{qV/kT} - 1). \end{aligned} \quad (10)$$

将(1)和(9)式代入(10)式,可得

$$J_{sc} \approx qF_0 \approx J_{nT} \quad (11)$$

$$J_0 = J_{0,\text{maj}} + J_{0,\text{min}}, \quad (12)$$

其中

$$\begin{aligned} J_{0,\text{maj}} &= A_{th}^* T^2 e^{-q\phi_0/kT} e^{-x_h^{1/2}\delta} \\ &\times e^{-q\Delta V_i/kT} \end{aligned} \quad (13)$$

为多子饱和暗电流,

$$J_{0,\text{min}} \approx \frac{n_{p0} D_n q}{L_n} \quad (14)$$

为少子饱和暗电流.

由(10)式,

$$V_{oc} = \frac{kT}{q} \ln \left( \frac{J_{sc}}{J_0} + 1 \right). \quad (15)$$

要提高光电转换效率,必须提高开路电压  $V_{oc}$  和短路电流  $J_{sc}$ ,并减少饱和暗电流  $J_0$ ,为此绝缘层的引入是有益的.

根据SB二极管理论,热离子激发饱和暗电流为

$$J'_{0,\text{maj}} = A^* T^2 e^{-q\phi_h^0/kT}, \quad (16)$$

由于  $q\phi_h^0$  较小,故暗电流较大.引入绝缘层后,(16)式变为(13)式,  $J'_{0,\text{maj}}$  会因为有隧道系数  $e^{-x_h^{1/2}\delta}$  和  $q\phi_h^0$  增大以及  $e^{-q\Delta V_i/kT}$  项的存在而大大降低.

和多子暗电流的情况相反,绝缘层对少子电流  $J_{sc}$  的影响不明显.对比(2)式和(13)式可看出,这是因为少子的  $e^{-x_e^{1/2}\delta}$  远大于多子的  $e^{-x_h^{1/2}\delta}$ ,又因为少子势垒  $q\phi_e^0$  降低和  $e^{q\Delta V_i/kT}$  的存在都有助于少子电流畅通.所以,绝缘层对多子、少子电流的抑制作用是完全不同的.

## 二、少子器件和表面反型层

MIS 太阳电池分为多子器件和少子器件.多子暗电流占优势叫多子器件,其性质如 SB 二极管;反之,叫少子器件,其性质类同陡变 p-n 结二极管. MIS 太阳电池的性质介乎 SB 和

p-n 结二极管之间<sup>[8]</sup>.

因为

$$n_{p0} p_{p0} = n_i^2 = N_c N_v e^{-E_G/kT},$$

其中  $n_{p0}$ ,  $p_{p0}$  为 P 区平衡少子和多子浓度. $p_{p0}$  近似等于  $N_A$ . 所以

$$\begin{aligned} J_{0,\text{min}} &= \frac{D_n q}{L_n} n_{p0} \\ &= \frac{D_n q}{L_n N_A} N_c N_v e^{-E_G/kT}. \end{aligned}$$

因此,少子暗电流主要取决于半导体材料的性质,而多子暗电流主要与 MIS 结构有关. 对同一种衬底材料的 MIS 太阳电池,由于  $J_0 = J_{0,\text{min}} + J_{0,\text{maj}}$ ,且  $J_{0,\text{min}}$  不变,所以少子器件的暗电流总小于多子器件,因而光伏特性更好.

要获得少子器件,要求半导体表面呈反型甚至强反型.理论上讲,高功函数金属与 n 型材料(如 Au-nSi)或低功函数金属与 P 型材料(如 Al-pSi)结合,均可得到高的势垒,制成少子器件.用 SiO<sub>x</sub> 作绝缘层,因为其中的正电荷会使 Au-nSi 势垒降低,而使 Al-pSi 势垒增高,故实用上,只有后者可望成为有效的少子器件.

要在氧化物上制作透明无孔的势垒金属层是较难的,因为金属层要透明性好,厚度一般只能几十个 Å,空气中的氧极易穿过金属层及 SiO<sub>x</sub> 与硅反应,使氧化层变厚,光电流降低.用 Si<sub>3</sub>N<sub>4</sub> 或 Al<sub>2</sub>O<sub>3</sub> 等代替 SiO<sub>x</sub> 或在势垒金属层上加抗反射膜,可防止氧气侵入引起的再氧化,但是不能解决金属层过薄造成的问题.解决这一问题的方法有:

1. 用铟锡氧化物(ITO)等导电半导体代替金属作上电极(即 SIS 太阳电池)<sup>[9]</sup>.因为导电半导体能隙较宽,所以较透明,膜层就可较厚(几千个 Å),使分布电阻降低.同时, ITO 可兼起抗反射和密封作用,故目前较受重视.

2. 用栅状电极.栅线收集栅间受光区的光生载流子,不须透明,故可较厚,使电阻减小.而且由于 MIS 接触面积减少,多子暗电流会更小,  $V_{oc}$  会提高.

栅线要能有效收集栅间光生少子,要求栅

间半导体表面分布电阻较小，使少子有效收集距离增大。为此应提高表面少子浓度，并使栅间和 MIS 结区一样是表面反型层。以下介绍用感应方法在栅间获得反型层的 MIS-IL 太阳电池。

### 三、MIS-IL 太阳电池

典型的 MIS-IL 太阳电池的结构见图 2。栅间淀积了一层含正电荷的抗反射膜，也可在 pSi 表面感应出反型层。栅下遮光部分的反型层则由 MIS 接触产生。整个器件就如一陡变 p-n 结 ( $n^+p$ ) 二极管。

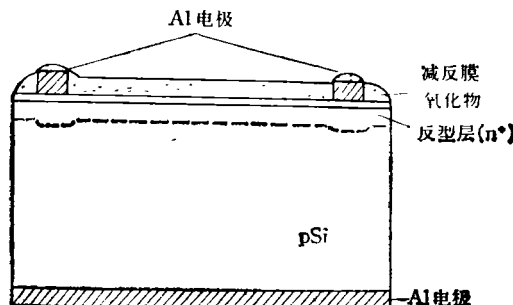


图 2 MIS-IL 太阳电池结构图

感应反型层有三个作用：

1. 分离光生载流子对。
2. 层中高浓度少子可使表面态大量被填充，减少表面复合电流<sup>[10]</sup>。

3. 提供少子收集通道<sup>[10]</sup>。MIS-IL 太阳电池有二种收集机制：向着 MIS 栅线的直接平面扩散和通过反型层传递的横向收集。前者与少子扩散长度有关，后者主要决定于反型层强弱。由于感应反型层一般都不很强，表面电阻较高 ( $\sim 10k\Omega/\square$ )，故栅线的侧收集距离较小 ( $\sim 400 \mu\text{m}$ )。为此要采用密栅结构 ( $\sim 100$  条/

cm)。

抗反射膜除抗反射作用外，更重要的是起感应反型层的作用，所以除对一般抗反射膜的光学要求外，还要求它有较高的正电荷密度。理论及实验表明，正电荷密度大于  $10^{13}/\text{cm}^2$  才能感应较强的反型层<sup>[11]</sup>。此外，还要求抗反射膜长期稳定和抗辐射，并且在制作过程中 MIS 结不会退化。在研究过的材料中，较好的有：(1)  $\text{SiO}_x$ 。用它制成的电池效率可达 18%<sup>[12]</sup>，但是稳定性较差且有较强的紫外吸收。(2) 含  $\text{SiO}_2$  的  $\text{Ta}_2\text{O}_5$ <sup>[13]</sup>，效率也达 18%，但也不稳定。(3)  $\text{Si}_3\text{N}_4$ <sup>[14]</sup> 用等离子体增强化学气相沉淀法制作，正电荷密度较高，界面态密度低，对器件钝化效果好，而且有较好的高温稳定性，效率已达 15%，故目前较受重视。

### 参 考 文 献

- [1] A. G. Nassibian et al., *Solid-State and Electron Devices*, 3(1979), 6.
- [2] J. Shewchun et al., *Solid-State Electronics*, 17 (1974), 563.
- [3] J. Fonash, *Thin Solid Films*, 36(1976), 387.
- [4] P. Viktorvitch et al., in Proc. 12th IEEE Photo Spec. Conf., Baton Rouge, (1976), 870.
- [5] S. J. Fonash, *J. Appl. Phys.*, 47(1976), 3597.
- [6] S. Kar, *J. Appl. Phys.*, 49(1978), 5278.
- [7] K. K. Ng and H. C. Cand, *IEEE Trans. Electr. Dev.*, ED-27 (1980), 716.
- [8] O. M. Neilsen, *IEE Proc. Pt. I.*, 127(1980), 105.
- [9] J. Shwchun et al., *IEEE Trans. Electr. Dev.*, ED-27 (1980), 705.
- [10] R. G. Godfrey and M. A. Green, *Appl. Phys. Lett.*, 33(1978), 637.
- [11] C. E. Norman et al., *IEEE Trans. Electr. Dev.*, ED-27(1980), 731.
- [12] M. A. Green et al., in Proc 14th IEEE Photo Spec. Conf., San Diego, (1980), 684.
- [13] R. E. Thomas et al., *IEEE Electr. Dev. Lett.*, EDI-1(1980), 79.
- [14] R. Hezel and R. Schörner, *J. Appl. Phys.*, 52 (1981), 3076.